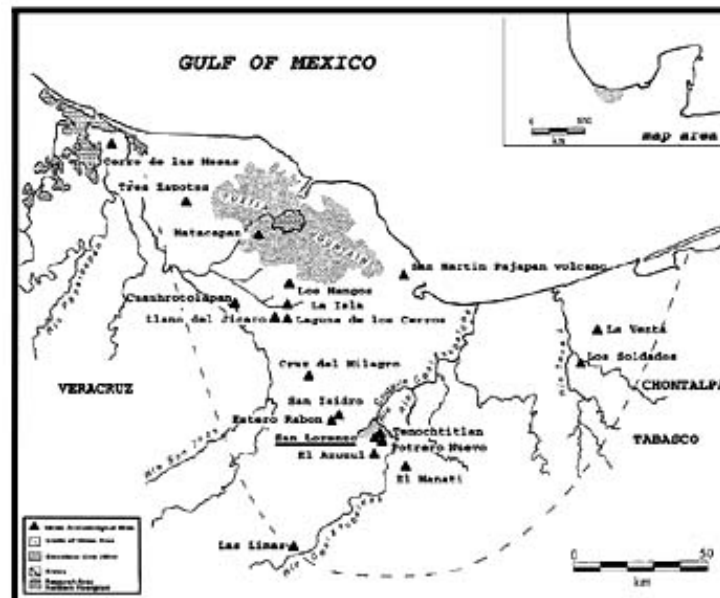


**FAMSI © 2007: Anthony A. Vega**

## **El Formativo temprano y medio en San Lorenzo, Veracruz, México**

*Traducido del Inglés por Eduardo Williams*



**Año de Investigación:** 2001

**Cultura:** Olmeca

**Cronología:** Preclásico

**Ubicación:** Veracruz, México

**Sitio:** San Lorenzo

### **Tabla de Contenidos**

[Introducción](#)

[Análisis Cerámico](#)

[Frecuencias Cerámicas](#)

[Análisis de las Figurillas](#)

[Conclusiones Preliminares](#)

[Agradecimientos](#)

[Lista de Figuras](#)

[Lista de Cuadros](#)

[Referencias Citadas](#)

## Introducción

Las ricas planicies aluviales que rodean al centro olmeca de San Lorenzo Tenochtitlán, Veracruz, México, están punteadas por sitios con montículos que son contemporáneos con ese centro (Lunagómez 1995; Symonds 1995). Más de 100, y tal vez hasta 150, modestos sitios con montículos se localizan en la planicie aluvial al norte y noroeste del centro olmeca (Vega 1999). El Río Tatagapa y el Río Chiquito definen los límites al oeste, al norte y al este del área de investigación ([Figura 1](#)). En 1998 se llevaron a cabo excavaciones arqueológicas patrocinadas por FAMSI en 15 de los sitios con montículos localizados en el norte y noroeste de la planicie aluvial (Vega 1998, 1999). Aquellas excavaciones se realizaron bajo los auspicios del Proyecto Arqueológico San Lorenzo Tenochtitlán (PASLT), mismo que también proporcionó fondos para las excavaciones en la planicie aluvial. Las excavaciones de 1998 descubrieron evidencia estructural (pisos de casas) y no estructural (pozos de fogatas) de habitación olmeca y pre-olmeca (Vega 1998, 1999). Estos montículos, entonces, podrían representar hogares del periodo Formativo temprano ubicados en un paisaje que se inunda durante la época de lluvias. La aparición de materiales culturales pre-olmecas y olmecas dentro de los montículos proporciona una oportunidad para estudiar más la secuencia cerámica y la cronología de San Lorenzo.

Michael Coe y Richard Diehl (1980) de la Universidad de Yale desarrollaron la primer tipología cerámica para el sitio arqueológico olmeca de San Lorenzo, basándose en sus excavaciones de 1966-1968. Estos autores dividieron a las cerámicas de San Lorenzo en ocho fases individuales (1980: 137-159). La cronología de Coe y Diehl para San Lorenzo sigue sin cambios, aunque se han realizado excavaciones recientemente en este sitio. Ann Cyphers de la Universidad Nacional Autónoma de México excavó en San Lorenzo entre 1989 y 1996; su proyecto incorporó la prospección de superficie extensa a nivel local (v. gr. Lunagómez 1995) y regional (v. gr. Symonds 1995) en las áreas circundantes de San Lorenzo. Con base en esta investigación arqueológica, Symonds, Cyphers, y Lunagómez (2003) han publicado parte de una tipología cerámica independiente para San Lorenzo. Durante las excavaciones de 1998, yo usé la tipología cerámica de Coe y Diehl (1980) para fechar capas estratigráficas y pisos o superficies que se descubrieron. Este informe preliminar describe el método empleado en el análisis de los materiales recobrados de las excavaciones en la planicie aluvial.

*Entregado el 2 de enero del 2007 por:*  
Anthony A. Vega  
Universidad de Illinois en Urbana-Champaign  
[agev88@yahoo.com](mailto:agev88@yahoo.com)

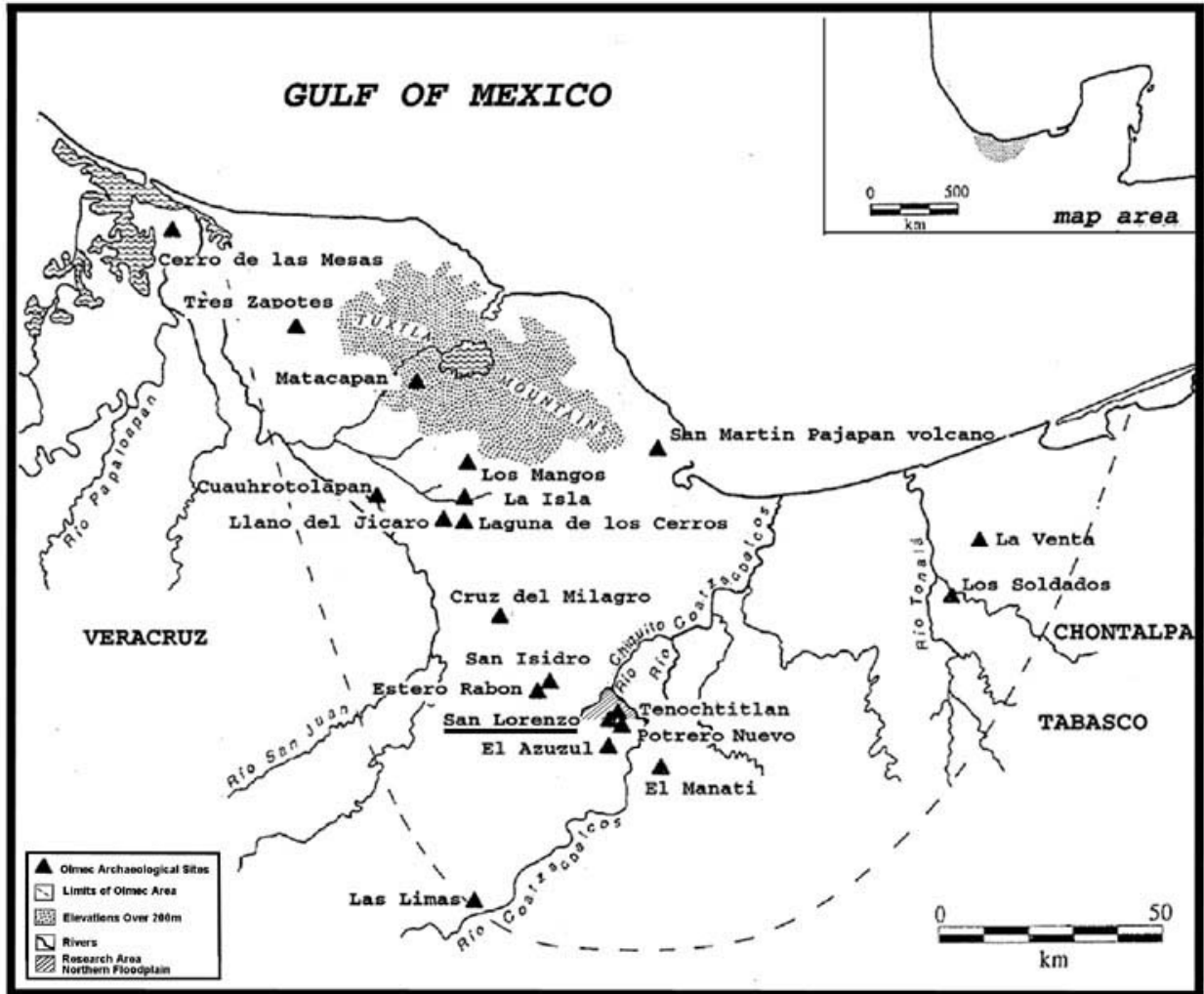


Figura 1. Sitios arqueológicos olmecas en el sur de Veracruz y el oeste de Tabasco, México (según Grove 1997).

### Análisis Cerámico

La condición de los tiestos procedentes de la planicie aluvial varía entre perfecta hasta extremadamente erosionada. Esta diferencia en el estado de conservación proporciona una oportunidad para estudiar la erosión, con la idea de eventualmente clasificar los tiestos erosionados. Usualmente estos últimos se consideran inclasificables, sin embargo constituyen un tipo con base en su condición y su color. Ann Cyphers (comunicación personal) también los trata como un tipo. De esa manera, los tiestos erosionados con pasta gris constituirían un tipo. Desgraciadamente, esto puede llevar a que todos los tiestos color gris con distinto tamaño de desgrasante se junten dentro de una misma categoría general. Notar las diferencias y similitudes en las características del desgrasante puede ayudar a separar esos tiestos. Las características del

desgrasante también permiten hacer comparaciones con los tipos establecidos o con tiestos en varios estados de conservación. Así, los tiestos erosionados todavía tienen suficientes características que pueden llevar a su tipo apropiado o establecido, suponiendo que su tipo esté representado en el conjunto cerámico. Si el tipo establecido de un tiesto erosionado no se puede determinar o definir como un nuevo tipo, seguirá en el tipo general.

La mayoría de los tiestos aparecieron en las capas estratigráficas de las unidades de prueba, luego yo analicé todos los tiestos, no solamente los que estaban asociados a rasgos. Los tipos de rasgos encontrados en las unidades de prueba frecuentemente tenían un bajo número de tiestos. En algunos casos, no había ningún tiesto (ver el [Cuadro 1](#), [Cuadro 6](#), y [Cuadro 14](#)). Además, algunos de los rasgos fueron pozos intrusivos que pertenecen a niveles de ocupación posteriores, y que podrían generar problemas para fechar rasgos anteriores. Por otra parte, el analizar todos los tiestos ayuda a rastrear su movimiento para determinar si la capas estratigráficas están perturbadas. Así, el ignorar tiestos de las capas estratigráficas tendría como resultado la pérdida de datos importantes. Este análisis cerámico por lo tanto intenta clasificar la mayor cantidad posible de tiestos.

El análisis cerámico se llevó a cabo en las instalaciones de la UNAM en Mapachapa, Veracruz, México, con el permiso de la Dra. Ann Cyphers del Instituto de Investigaciones Antropológicas de la UNAM. Inicialmente usé ambas tipologías como guía, aunque rápidamente descubrí que no es tan sencillo seguir las tipologías establecidas porque cada investigador puede ver una característica específica de manera muy diferente, especialmente cuando se trata del color. Por lo tanto, regresé a lo más básico: un asistente y yo limpiamos todos los tiestos de cada unidad de prueba antes de iniciar el análisis. Utilizamos el método de limpieza de Ann Cyphers, que incorpora un bisturí y una brocha suave. El agua suele remover los tratamientos de superficie importantes, como el engobe. Durante el proceso de limpieza noté la presencia de tipos diagnósticos así como formas y decoración de superficie únicas, lo que me permitió verificar observaciones hechas en el campo.

Todos los tiestos de cada unidad de prueba y sus extensiones se trataron por nivel métrico. Los tiestos relacionados con rasgos se situaron entre niveles métricos asociados. Los tiestos de por lo menos tres unidades de prueba se trataron al mismo tiempo. Esas unidades de prueba estaban juntas entre sí o compartían la misma área. Esto permitió hacer comparaciones cerámicas entre unidades de prueba o montículos. Limpiamos ligeramente los tiestos antes de separarlos según el color de superficie y la pasta. La limpieza adicional tuvo como resultado encontrar tratamientos de la superficie (v. gr. engobe rojo) que no se habían notado antes. Los tiestos después se agruparon según la apariencia del desgrasante; los procedentes de cada nivel métrico y de los rasgos se estudiaron para identificar tipos y formas diagnósticos. Se anotó la ubicación de los tipos diagnósticos al igual que los cambios en la fase. Este proceso me permitió fechar rasgos específicos y capas estratigráficas, así como dividir a la cerámica en fases establecidas. También me ayudará a determinar si los tiestos de distintas capas estratigráficas o niveles de ocupación están revueltos. Aparte de lo anterior, notamos los aumentos y disminuciones en frecuencias de tiestos, comparando esta información

con fotografías y dibujos de los perfiles estratigráficos para determinar si los cambios en las frecuencias de tiestos sucedían en asociación con los rasgos notados o no durante las excavaciones, que podían observarse en los perfiles. En algunos casos me fue posible asociar el incremento en frecuencias cerámicas a posibles superficies presentes en los perfiles.

Primeramente analizamos los bordes y luego juntamos los tiestos de cuerpo con los bordes, usando una plataforma plana con escala vertical y horizontal para medir la posición del borde. Estas medidas se usaron para dibujar los perfiles de bordes. Utilizamos arcilla para modelar para hacer un molde de la parte interior y exterior del tiesto; usamos una aguja de disección para trazar el contorno del borde, y un calibrador digital para asegurarnos de que el grosor fuera el correcto. Este método revela pequeños cambios en el labio del borde que se perderían de otra forma si sólo se usara un lápiz, ya que el grosor de la punta del lápiz suele oscurecer pequeños detalles. Aparte de los perfiles se dibujó el exterior de todos los tiestos de borde, incluyendo aquellos si decoración. Esto permite la fácil identificación para estudios posteriores. La reconstrucción parcial de los bordes se realizó para determinar la posición. En algunos casos, la reconstrucción tuvo como resultado perfiles completos de vasijas. Registramos las características de los tiestos de cuerpo y de borde (v. gr. color, pasta, desgrasante, diámetro, forma y decoración). El desgrasante se midió usando dos microscopios con aumento de 40x y de 20x; ambos tienen escala en milímetros. Notamos el tamaño y la forma de las partículas, usando la escala de Wentworth y escala malla de la Oficina de Estándares de Estados Unidos (Wentworth 1922) para determinar el tamaño de las partículas, por ejemplo muy fina, fina, mediana y gruesa. La separación del color fue mantenida para notar variaciones dentro de posibles tipos. Usamos la tabla Munsell de colores de suelo (edición revisada de 2003) para determinar el color. Los tiestos de cuerpo con forma y decoración únicas también se dibujaron, notando la forma con el número apropiado. Usamos el sistema de números de Ann Cyphers para la forma y la decoración. También anotamos todas las características de los tiestos de cuerpo individuales para determinar si coinciden con los bordes analizados y con las actuales tipologías. Esta información se usará para correlacionar las tipologías. Cuando no se encontró una coincidencia obvia para los tiestos de borde o de cuerpo, se trataron como un posible nuevo tipo. Igualmente se dio un nuevo número a las posibles nuevas formas. Los tiestos diagnósticos y las formas únicas se fotografiarán después de que el análisis se haya completado; también fotografiaré vasijas parciales y completas.

La metodología descrita aquí es algo redundante y se lleva mucho tiempo, sin embargo la redundancia permite verificar las observaciones hechas en varios puntos durante el análisis, aparte de que expande esas observaciones. Por lo tanto, el sistema de redundancia permite un análisis más profundo y completo. También ayudó a maximizar mis conocimientos sobre las cerámicas de la planicie aluvial. Más importante, los conocimientos adquiridos expanden los previos estudios de las cerámicas de San Lorenzo.

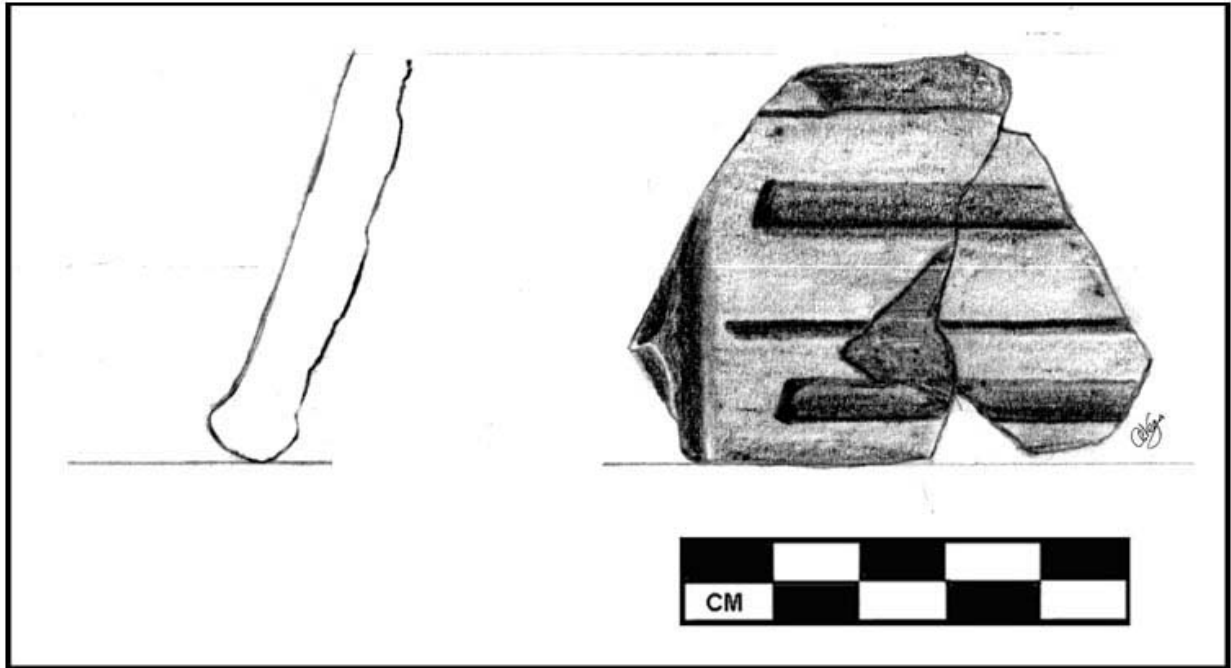


Figura 2. Fase San Lorenzo (1150-900 a.C.).

### Frecuencias Cerámicas

Dividimos las cerámicas de la planicie aluvial en 60 tipos con base en el análisis completo. Los resultados de este análisis cerámico se resumen en los cuadros de frecuencias (ver los [Cuadros 1-30](#)). Las frecuencias cerámicas de cada unidad de prueba se dividen de acuerdo con la capa estratigráfica y los rasgos. Solamente incluimos los rasgos que se asociaron con tiestos en los cuadros. Así, no todos los rasgos están enlistados en los cuadros. Los números 1 al 60 identifican los tipos individuales. Sin embargo, estos tipos son temporales hasta que todo el análisis cerámico se haya completado. Las observaciones adicionales hechas durante el análisis de las restantes unidades de prueba indican que algunos de los tipos podrían dividirse aún más. Este análisis incluye 2,135 dibujos de perfiles y de exteriores ([Figura 2](#), [Figura 3](#), arriba; [Figura 4](#), [Figura 5](#), [Figura 6](#)). Estos dibujos representan cinco unidades de prueba. Desafortunadamente, este análisis sigue sin terminarse. Ambas tipologías (Coe y Diehl 1980; Coe 1981; Symonds, Cyphers y Lunagómez 2003) están representadas en la presente tipología.

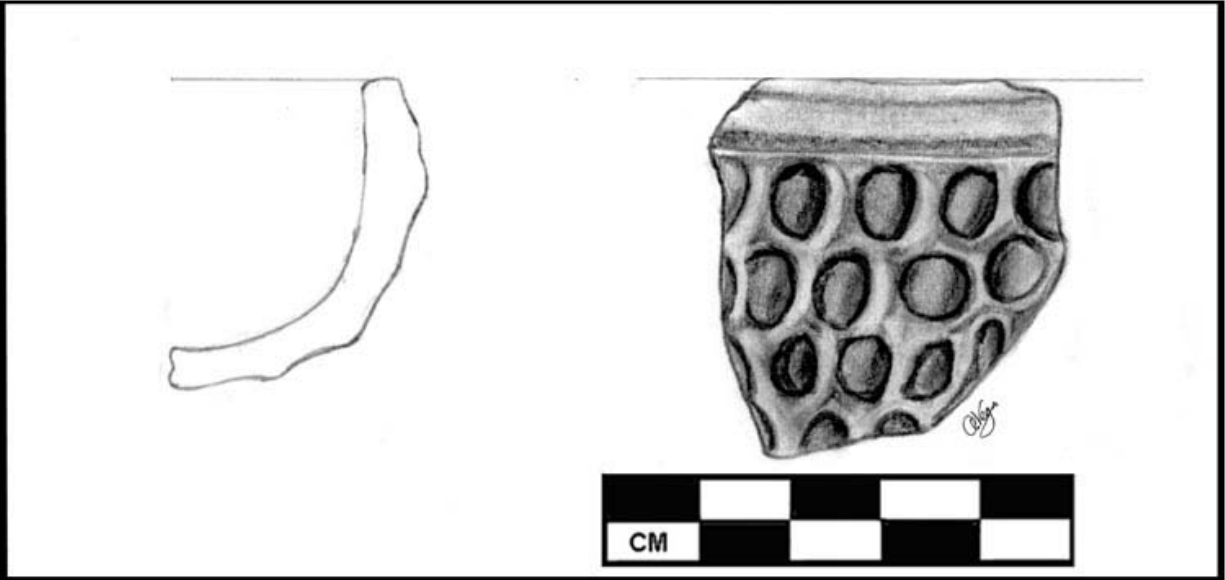


Figura 3. Fase Bajío (1350-1250 a.C.).



Figura 4. Fase Bajío (1350-1250 a.C.).

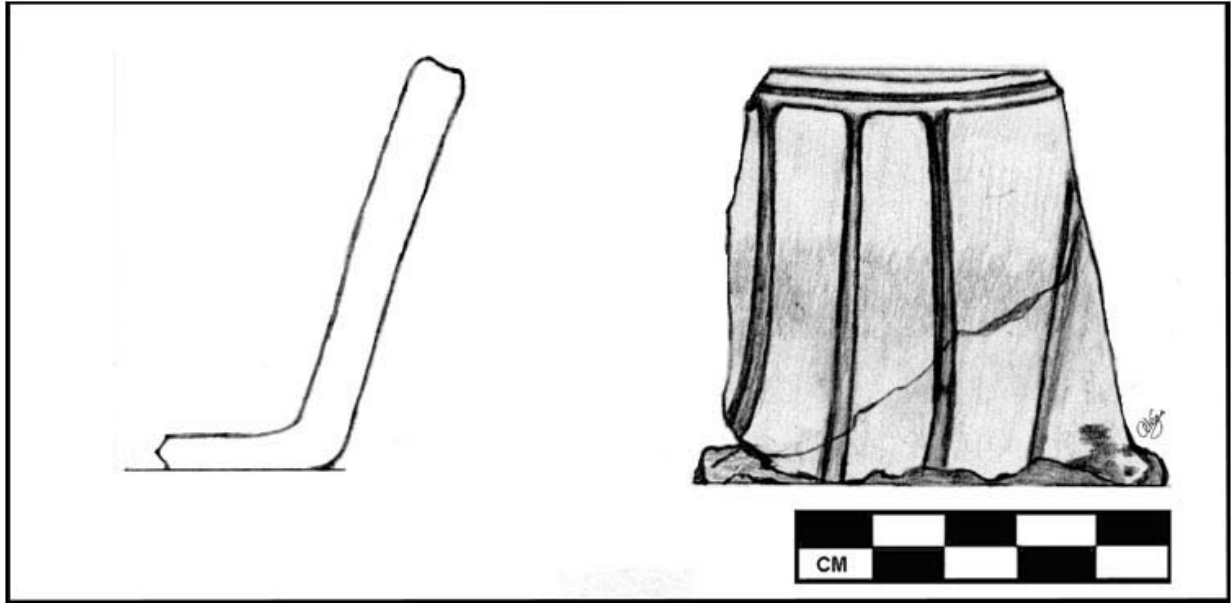


Figura 5. Fase Bajío (1350-1250 a.C.).

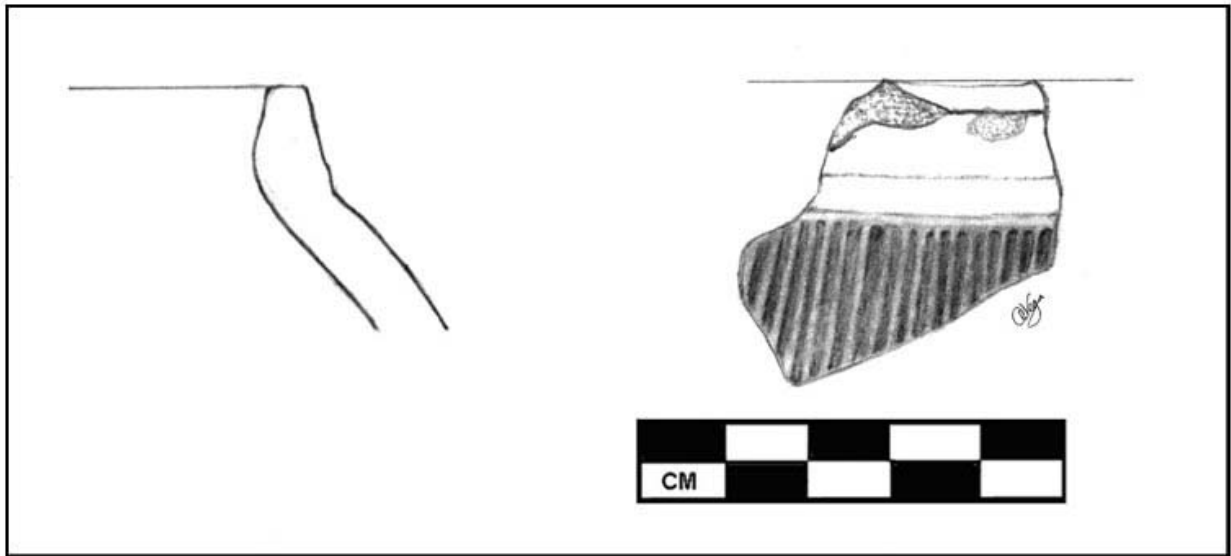


Figura 6. Fase Ojochi (1500-1350 a.C.).

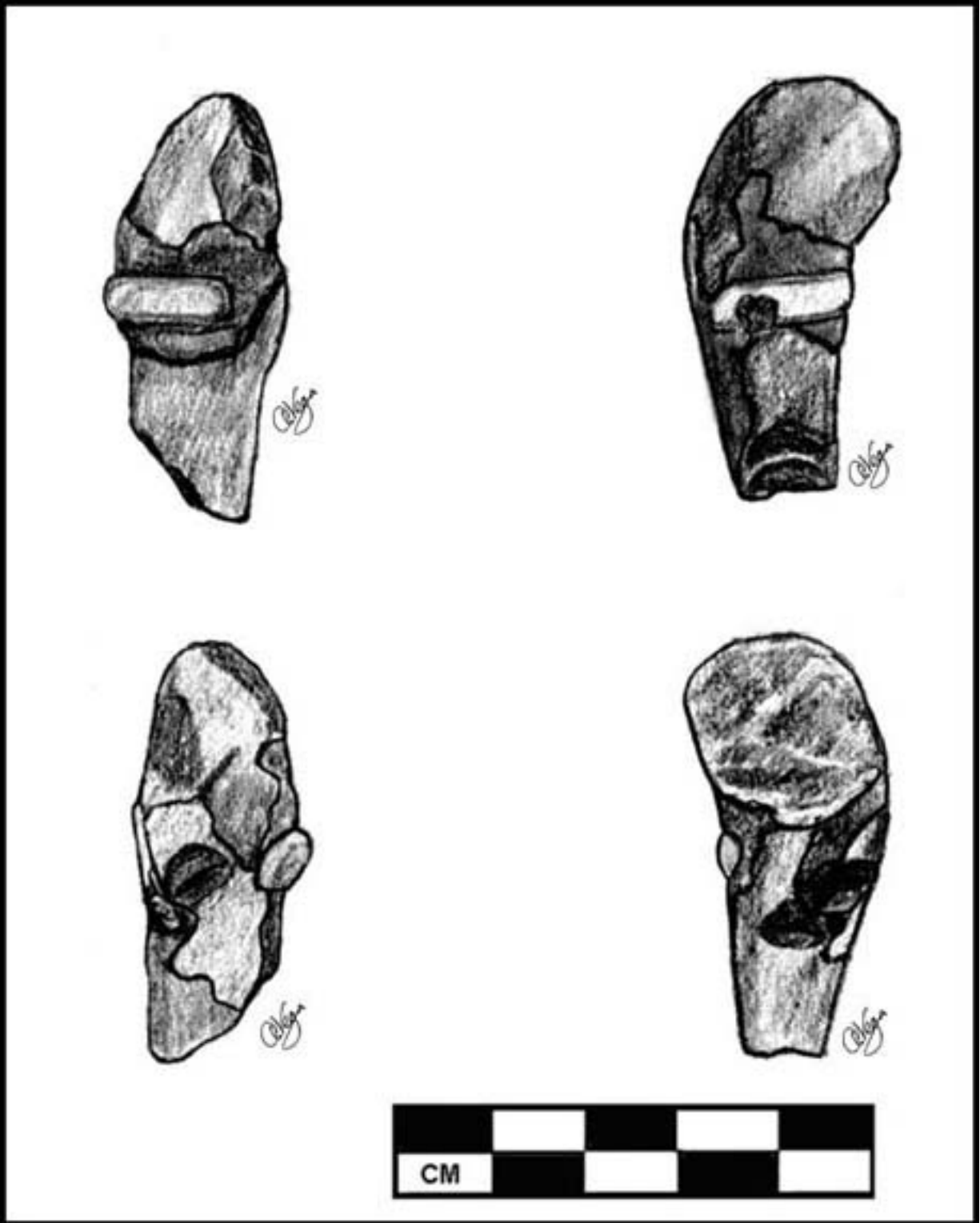


Figura 7. Fase San Lorenzo (1150-900 a.C.).

<b>Cuadro 1. Unidad de Prueba 1: Frecuencias Cerámicas: Capas Estratigráficas y Rasgos.</b>				
<b>Capas Estratigráficas y Rasgos</b>	<b>Cuerpo</b>	<b>Borde</b>	<b>Base</b>	<b>Total</b>
I	390	15	0	405
II	845	37	1	883
III	462	33	12	507
IV	415	23	5	443
IV	327	8	1	336
V	1681	112	10	1803
VI	13	3	0	16
F1	2562	164	27	2753
F5	25	1	0	26
Total	6720	396	56	7172

<b>Cuadro 2. Unidad de Prueba 1: Capas Estratigráficas: Frecuencias Cerámicas por Tipo.</b>				
<b>Tipo</b>	<b>Cuerpo</b>	<b>Borde</b>	<b>Base</b>	<b>Total</b>
6	4	1	0	5
7	30	11	3	44
8	1	0	0	1
10	32	3	0	35
11	33	8	2	43
12	56	7	0	63
13	105	6	0	111
14	65	4	0	69
15	13	2	0	15
16	254	8	1	263
17	282	13	0	295
18	11	1	2	14
19	10	1	0	11

20	1	0	0	1
21	0	1	1	2
23	8	0	0	8
25	1	0	0	1
28	1	0	0	1
29	105	5	0	110
31	17	1	0	18
32	19	1	0	20
33	116	10	6	132
38	34	2	0	36
39	0	3	1	4
41	8	5	0	13
42	2192	71	0	2263
43	117	6	0	123
47	55	2	1	58
49	50	5	0	55
51	1	2	0	3
52	49	8	0	57
53	40	7	5	52
54	413	36	6	455
56	4	0	1	5
57	5	0	0	5
58	0	1	0	1
59	1	0	0	1
Total	4133	231	29	4393

<b>Cuadro 3. Unidad de Prueba 1: Rasgos: Frecuencias Cerámicas por Tipo.</b>				
<b>Tipo</b>	<b>Cuerpo</b>	<b>Borde</b>	<b>Base</b>	<b>Total</b>
54	619	59	18	696
60	1	0	0	1
33	21	8	7	36
47	108	6	0	114
43	163	4	0	167
52	5	0	0	5
42	985	31	0	1016
29	95	8	1	104
46	0	7	0	7
28	0	1	0	1
36	2	0	0	2
49	554	25	0	579
25	5	1	0	6
53	19	13	1	33
31	5	2	0	7
12	1	0	0	1
13	1	0	0	1
9	3	0	0	3
<b>Total</b>	<b>2587</b>	<b>165</b>	<b>27</b>	<b>2779</b>

<b>Cuadro 4. Unidad de Prueba 1. Capa Estratigráfica IV, Rasgo 1: Frecuencias Cerámicas por Tipo.</b>				
<b>Tipo</b>	<b>Cuerpo</b>	<b>Borde</b>	<b>Base</b>	<b>Total</b>
54	618	59	18	695
33	21	8	7	36
47	108	6	0	114
43	162	3	0	165
52	5	0	0	5
42	963	31	0	994
29	95	8	1	104
46	0	7	0	7
28	0	1	0	1
36	2	0	0	2
49	554	25	0	579
25	5	1	0	6
53	19	13	1	33
31	5	2	0	7
12	1	0	0	1
13	1	0	0	1
9	3	0	0	3
<b>Total</b>	<b>2562</b>	<b>164</b>	<b>27</b>	<b>2753</b>

<b>Cuadro 5. Unidad de Prueba 1. Capa Estratigráfica VI, Rasgo 5: Frecuencias Cerámicas por Tipo.</b>				
<b>Tipo</b>	<b>Cuerpo</b>	<b>Borde</b>	<b>Base</b>	<b>Total</b>
43	1	1	0	2
54	1	0	0	1
42	22	0	0	22
60	1	0	0	1
Total	25	1	0	26

<b>Cuadro 6. Unidad de Prueba 4. Frecuencias Cerámicas: Capas Estratigráficas y Rasgos.</b>				
<b>Capas Estratigráficas y Rasgos</b>	<b>Cuerpo</b>	<b>Borde</b>	<b>Base</b>	<b>Total</b>
I	0	0	0	0
II	39	3	0	42
III	923	44	6	973
IV	31	5	1	37
F1	3	1	0	4
F2	162	6	1	169
F3	33	1	1	35
F4	75	1	0	76
F5	25	1	0	26
F7	8	2	0	10
Total	1299	64	9	1372

<b>Cuadro 7. Unidad de Prueba 4. Capas Estratigráficas y Rasgos: Frecuencias Cerámicas por Tipo.</b>				
<b>Tipo</b>	<b>Cuerpo</b>	<b>Borde</b>	<b>Base</b>	<b>Total</b>
1	1	1	0	2
2	1	0	0	1
3	0	2	0	2
4	2	2	0	4
12	3	1	0	4
13	12	0	0	12
16	14	1	0	15
29	79	8	0	87
31	43	2	1	46
33	124	18	6	148
39	5	0	1	6
41	226	2	0	228
42	575	14	0	589
43	13	0	0	13
47	56	4	0	60
54	82	6	1	89
52	32	1	0	33
49	31	2	0	33
<b>Total</b>	<b>1299</b>	<b>64</b>	<b>9</b>	<b>1372</b>

<b>Cuadro 8. Unidad de Prueba 4. Capa Estratigráfica II, Rasgo 1: Frecuencias Cerámicas por Tipo.</b>				
<b>Tipo</b>	<b>Cuerpo</b>	<b>Borde</b>	<b>Base</b>	<b>Total</b>
31	0	1	0	1
42	2	0	0	2
47	1	0	0	1
Total	3	1	0	4

<b>Cuadro 9. Unidad de Prueba 4. Capa Estratigráfica II, Rasgo 2: Frecuencias Cerámicas por Tipo.</b>				
<b>Tipo</b>	<b>Cuerpo</b>	<b>Borde</b>	<b>Base</b>	<b>Total</b>
29	11	1	0	12
31	12	0	0	12
33	19	3	1	23
41	68	1	0	69
42	44	0	0	44
52	4	0	0	4
54	4	1	0	5
Total	162	6	1	169

<b>Cuadro 10. Unidad de Prueba 4. Capa Estratigráfica III, Rasgo 3: Frecuencias Cerámicas por Tipo.</b>				
<b>Tipo</b>	<b>Cuerpo</b>	<b>Borde</b>	<b>Base</b>	<b>Total</b>
29	9	0	0	9
33	2	1	1	4
42	18	0	0	18
49	4	0	0	4
Total	33	1	1	35

<b>Cuadro 11. Unidad de Prueba 4. Capa Estratigráfica III, Rasgo 4: Frecuencias Cerámicas por Tipo.</b>				
<b>Tipo</b>	<b>Cuerpo</b>	<b>Borde</b>	<b>Base</b>	<b>Total</b>
42	54	0	0	54
47	12	0	0	12
49	9	1	0	10
Total	75	1	0	76

<b>Cuadro 12. Unidad de Prueba 4. Capa Estratigráfica III, Rasgo 5: Frecuencias Cerámicas por Tipo.</b>				
<b>Tipo</b>	<b>Cuerpo</b>	<b>Borde</b>	<b>Base</b>	<b>Total</b>
42	25	1	0	26
Total	25	1	0	26

<b>Cuadro 13. Unidad de Prueba 4. Capa Estratigráfica IV, Rasgo 7: Frecuencias Cerámicas por Tipo.</b>				
<b>Tipo</b>	<b>Cuerpo</b>	<b>Borde</b>	<b>Base</b>	<b>Total</b>
4	2	2	0	4
4	2	0	0	2
4	4	0	0	4
Total	8	2	0	10

<b>Cuadro 14. Unidad de Prueba 11. Capas Estratigráficas y Rasgos: Frecuencias Cerámicas.</b>				
<b>Capas Estratigráficas y Rasgos</b>	<b>Cuerpo</b>	<b>Borde</b>	<b>Base</b>	<b>Total</b>
I	26	1	0	27
II	216	20	2	238
III	450	28	9	487
IV	78	6	2	86
V	107	5	6	118
VI	26	0	0	26
F1	130	4	0	134
II/Intrusión	50	3	0	53
F2	18	1	0	19
F3	35	2	0	37
F4	31	4	2	37
F9	9	0	0	9
F10	52	2	1	55
F11	60	4	0	64
F12	243	3	2	248
F13	32	1	0	33
F14	233	11	7	251
F15	1454	86	31	1561
F16	229	21	6	256
<b>Total</b>	<b>3479</b>	<b>202</b>	<b>68</b>	<b>3739</b>

<b>Cuadro 15. Unidad de Prueba 11. Capas Estratigráficas: Frecuencias Cerámicas por Tipo.</b>				
<b>Tipo</b>	<b>Cuerpo</b>	<b>Borde</b>	<b>Base</b>	<b>Total</b>
13	76	9	1	86
42	442	10	2	454
29	57	5	4	66
51	2	0	0	2
5	4	0	0	4
6	1	0	0	1
10	1	0	0	1
12	21	3	0	24
15	14	1	0	15
16	2	0	0	2
17	7	2	0	9
24	1	0	0	1
23	5	0	0	5
28	1	1	0	2
37	1	0	0	1
41	1	0	0	1
43	16	0	0	16
32	5	0	0	5
36	2	0	0	2
33	105	12	8	125
31	17	1	0	18
52	11	1	0	12
54	105	11	3	119
47	2	0	0	2
49	2	1	0	3
30	2	3	1	6
<b>Total</b>	<b>903</b>	<b>60</b>	<b>19</b>	<b>982</b>

<b>Cuadro 16. Unidad de Prueba 11. Rasgos: Frecuencias Cerámicas por Tipo.</b>				
<b>Tipo</b>	<b>Cuerpo</b>	<b>Borde</b>	<b>Base</b>	<b>Total</b>
10	4	0	0	4
12	5	0	0	5
13	52	2	1	55
15	8	2	0	10
16	45	2	0	47
17	44	2	0	46
18	4	1	1	6
22	6	1	0	7
27	7	0	0	7
28	8	0	0	8
29	343	17	6	366
31	107	1	0	108
32	148	1	1	150
33	426	63	23	513
34	4	0	1	5
36	13	0	0	13
37	9	0	0	9
39	2	0	0	2
41	2	0	0	2
42	757	26	1	783
43	68	1	0	69
47	11	0	0	11
49	8	1	0	9
51	2	0	0	2
52	245	13	3	261
53	2	0	0	2
54	246	9	2	257
<b>Total</b>	<b>2576</b>	<b>142</b>	<b>39</b>	<b>2757</b>

<b>Cuadro 17. Unidad de Prueba 11. Capa Estratigráfica II, Rasgo 1: Frecuencias Cerámicas por Tipo.</b>				
<b>Tipo</b>	<b>Cuerpo</b>	<b>Borde</b>	<b>Base</b>	<b>Total</b>
10	4	0	0	4
12	2	0	0	2
13	24	1	0	25
15	6	1	0	7
16	10	0	0	10
17	38	0	0	38
18	1	0	0	1
22	6	1	0	7
29	2	0	0	2
42	32	1	0	33
54	5	0	0	5
Total	130	4	0	134

<b>Cuadro 18. Unidad de Prueba 11. Capa Estratigráfica II/Intrusión: Frecuencias Cerámicas por Tipo.</b>				
<b>Tipo</b>	<b>Cuerpo</b>	<b>Borde</b>	<b>Base</b>	<b>Total</b>
16	21	1	0	22
29	3	1	0	4
32	0	1	0	1
33	1	0	0	1
42	15	0	0	15
49	1	0	0	1
54	9	0	0	9
Total	50	3	0	53

<b>Cuadro 19. Unidad de Prueba 11. Capa Estratigráfica II, Rasgo 2: Frecuencias Cerámicas por Tipo.</b>				
<b>Tipo</b>	<b>Cuerpo</b>	<b>Borde</b>	<b>Base</b>	<b>Total</b>
12	1	0	0	1
13	8	1	0	9
16	3	0	0	3
18	1	0	0	1
42	3	0	0	3
54	2	0	0	2
Total	18	1	0	19

<b>Cuadro 20. Unidad de Prueba 11. Capa Estratigráfica II, Rasgo 3: Frecuencias Cerámicas por Tipo.</b>				
<b>Tipo</b>	<b>Cuerpo</b>	<b>Borde</b>	<b>Base</b>	<b>Total</b>
13	3	0	0	3
15	1	0	0	1
16	3	0	0	3
17	6	1	0	7
18	0	1	0	1
33	6	0	0	6
42	7	0	0	7
54	9	0	0	9
Total	35	2	0	37

<b>Cuadro 21. Unidad de Prueba 11. Capa Estratigráfica II, Rasgo 4: Frecuencias Cerámicas por Tipo.</b>				
<b>Tipo</b>	<b>Cuerpo</b>	<b>Borde</b>	<b>Base</b>	<b>Total</b>
13	9	0	1	10
15	1	1	0	2
16	6	1	0	7
29	2	1	1	4
33	2	0	0	2
42	10	0	0	10
54	1	1	0	2
Total	31	4	2	37

<b>Cuadro 22. Unidad de Prueba 11. Capa Estratigráfica III, Rasgo 9: Frecuencias Cerámicas por Tipo.</b>				
<b>Tipo</b>	<b>Cuerpo</b>	<b>Borde</b>	<b>Base</b>	<b>Total</b>
12	1	0	0	1
42	7	0	0	7
54	1	0	0	1
Total	9	0	0	9

<b>Cuadro 23. Unidad de Prueba 11. Capa Estratigráfica III, Rasgo 10: Frecuencias Cerámicas por Tipo.</b>				
<b>Tipo</b>	<b>Cuerpo</b>	<b>Borde</b>	<b>Base</b>	<b>Total</b>
12	1	0	0	1
13	8	0	0	8
17	0	1	0	1
29	5	0	0	5
32	1	0	0	1
33	1	0	0	1
41	2	0	0	2
42	26	1	0	27
43	3	0	0	3
54	5	0	1	6
Total	52	2	1	55

<b>Cuadro 24. Unidad de Prueba 11. Capa Estratigráfica III, Rasgo 11/Piso 1: Frecuencias Cerámicas por Tipo.</b>				
<b>Tipo</b>	<b>Cuerpo</b>	<b>Borde</b>	<b>Base</b>	<b>Total</b>
16	2	0	0	2
29	7	1	0	8
33	5	1	0	6
42	36	1	0	37
54	10	1	0	11
Total	60	4	0	64

<b>Cuadro 25. Unidad de Prueba 11. Capa Estratigráfica IV, Rasgo 12/FI-3: Frecuencias Cerámicas por Tipo.</b>				
<b>Tipo</b>	<b>Cuerpo</b>	<b>Borde</b>	<b>Base</b>	<b>Total</b>
18	2	0	0	2
28	7	0	0	7
29	37	0	1	38
31	16	0	0	16
32	10	0	0	10
33	27	2	1	30
36	1	0	0	1
37	1	0	0	1
39	1	0	0	1
42	110	1	0	111
43	2	0	0	2
47	8	0	0	8
49	6	0	0	6
52	2	0	0	2
54	13	0	0	13
<b>Total</b>	<b>243</b>	<b>3</b>	<b>2</b>	<b>248</b>

<b>Cuadro 26. Unidad de Prueba 11. Capa Estratigráfica IV, Rasgo 13: Frecuencias Cerámicas por Tipo.</b>				
<b>Tipo</b>	<b>Cuerpo</b>	<b>Borde</b>	<b>Base</b>	<b>Total</b>
29	3	1	0	4
33	5	0	0	5
39	1	0	0	1
42	10	0	0	10
43	10	0	0	10
52	3	0	0	3
Total	32	1	0	33

<b>Cuadro 27. Unidad de Prueba 11. Capa Estratigráfica IV, Rasgo 14: Frecuencias Cerámicas por Tipo.</b>				
<b>Tipo</b>	<b>Cuerpo</b>	<b>Borde</b>	<b>Base</b>	<b>Total</b>
28	1	0	0	1
29	46	0	2	48
31	5	0	0	5
32	18	0	1	19
33	38	6	4	48
37	3	0	0	3
42	78	1	0	79
43	10	0	0	10
47	2	0	0	2
52	6	0	0	6
54	26	4	0	30
Total	233	11	7	251

<b>Cuadro 28. Unidad de Prueba 11. Capa Estratigráfica IV, Rasgo 15: Frecuencias Cerámicas por Tipo.</b>				
<b>Tipo</b>	<b>Cuerpo</b>	<b>Borde</b>	<b>Base</b>	<b>Total</b>
18	0	0	1	1
27	1	0	0	1
29	73	5	1	79
31	18	0	0	18
32	5	0	0	5
33	96	19	6	121
34	4	0	1	5
42	127	7	0	134
43	3	0	0	3
47	1	0	0	1
53	2	0	0	2
52	60	2	0	62
54	21	2	0	23
Total	411	35	9	455

<b>Cuadro 29. Unidad de Prueba 11. Capa Estratigráfica IV, Rasgo 15: Frecuencias Cerámicas por Tipo.</b>				
<b>Tipo</b>	<b>Cuerpo</b>	<b>Borde</b>	<b>Base</b>	<b>Total</b>
27	6	0	0	6
29	130	5	1	136
31	68	1	0	69
32	114	0	0	114
33	235	32	10	277
36	12	0	0	12
37	5	0	0	5
42	185	4	0	189
43	28	0	0	28
51	2	0	0	2
52	120	8	0	128
54	138	1	1	140
Total	1043	51	12	1106

<b>Cuadro 30. Unidad de Prueba 11. Capa Estratigráfica IV, Rasgo 16: Frecuencias Cerámicas por Tipo.</b>				
<b>Tipo</b>	<b>Cuerpo</b>	<b>Borde</b>	<b>Base</b>	<b>Total</b>
29	35	3	0	38
33	10	3	2	15
43	12	1	0	13
42	111	10	1	122
49	1	1	0	2
52	54	3	3	60
54	6	0	0	6
Total	229	21	6	256

## **Análisis de las Figurillas**

Las excavaciones en la planicie aluvial proporcionaron varias partes del cuerpo de figurillas (cabezas, brazos y piernas). Desafortunadamente, no se encontraron figurillas completas en las unidades de prueba. No obstante, las partes de cuerpo todavía tienen información útil acerca de la figurilla completa a la que pertenecen. La condición de los fragmentos de figurillas varió entre buena y mala. Los varios fragmentos se dividieron entonces en las distintas partes del cuerpo: cabeza, torso, piernas, pies, brazos y manos. Estos fragmentos se examinaron buscando rasgos anatómicos y no anatómicos. Por ejemplo, los rasgos anatómicos de las cabezas de figurilla incluyen forma de la cabeza, ojos, orejas, nariz y boca, mientras que los rasgos no anatómicos de las figurillas incluyen ornamentos (v. gr. brazaletes, collares, orejeras y pendientes), tocados y prendas de vestir. Cada rasgo o elemento individual entonces tiene sus propias características. Se anotó la posición del cuerpo (v. gr. sentado, recostado, de pie, arrodillado, piernas cruzadas). También notamos tratamientos de la superficie (v. gr. bruñido, engobe, pintura y color) y características del desgrasante (v. gr. tamaño y color de las partículas). Estas categorías y subcategorías son una representación de rasgos y no incluyen toda la lista. La lista de categorías puede crecer dependiendo de los rasgos presentes en cada fragmento individual de figurilla. Medimos las partes de cuerpos y las áreas quebradas (v. gr. cavidades de piernas y brazos) con la intención de distinguir los brazos de las piernas. Las diferencias en longitud y diámetro de las partes del cuerpo (brazos y piernas) al igual que otros rasgos (posición del cuerpo) podrían representar un estilo específico. Aparte de todo lo anterior, dibujamos los cuatro perfiles de cada fragmento de figurilla, lo cual ayuda a identificar las características del objeto. Así, dibujar el artefacto es un componente importante de mi análisis ([Figura 2](#), [Figura 3](#), [Figura 4](#), [Figura 5](#), [Figura 6](#)). El análisis de las figurillas todavía no se ha terminado.

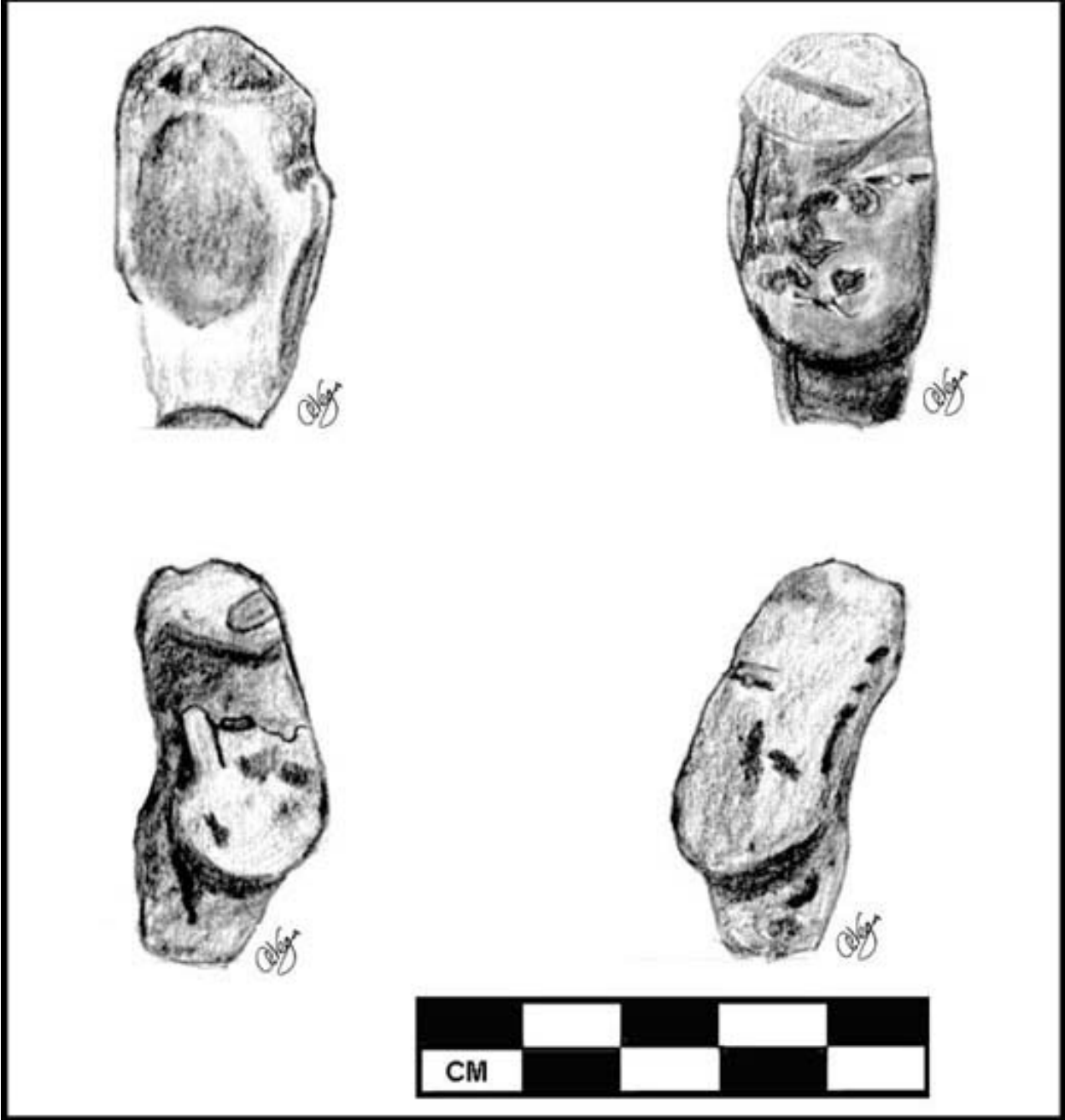


Figura 8. Fase San Lorenzo (1150-900 a.C.).

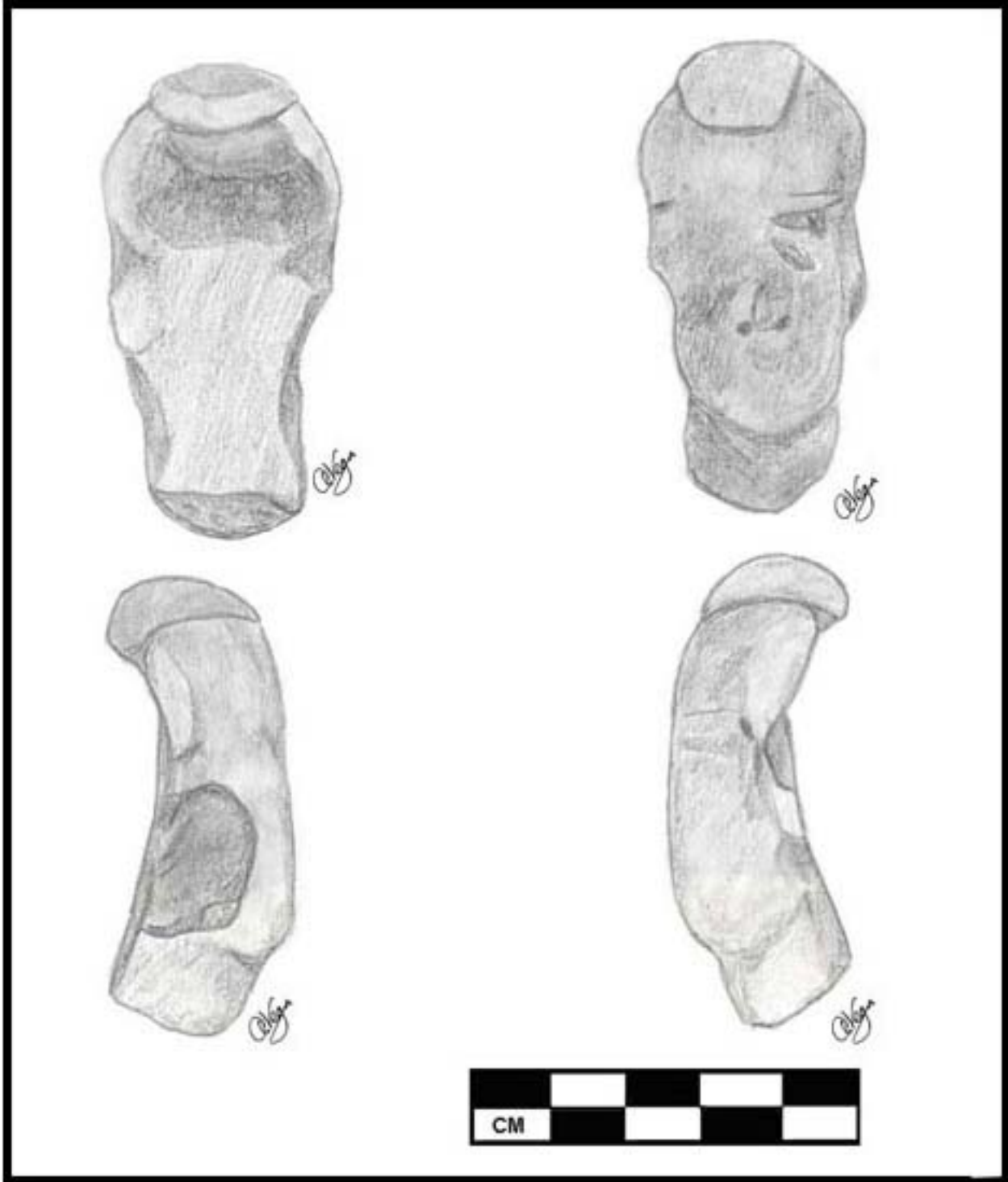


Figura 9. Fase San Lorenzo (1150-900 a.C.).

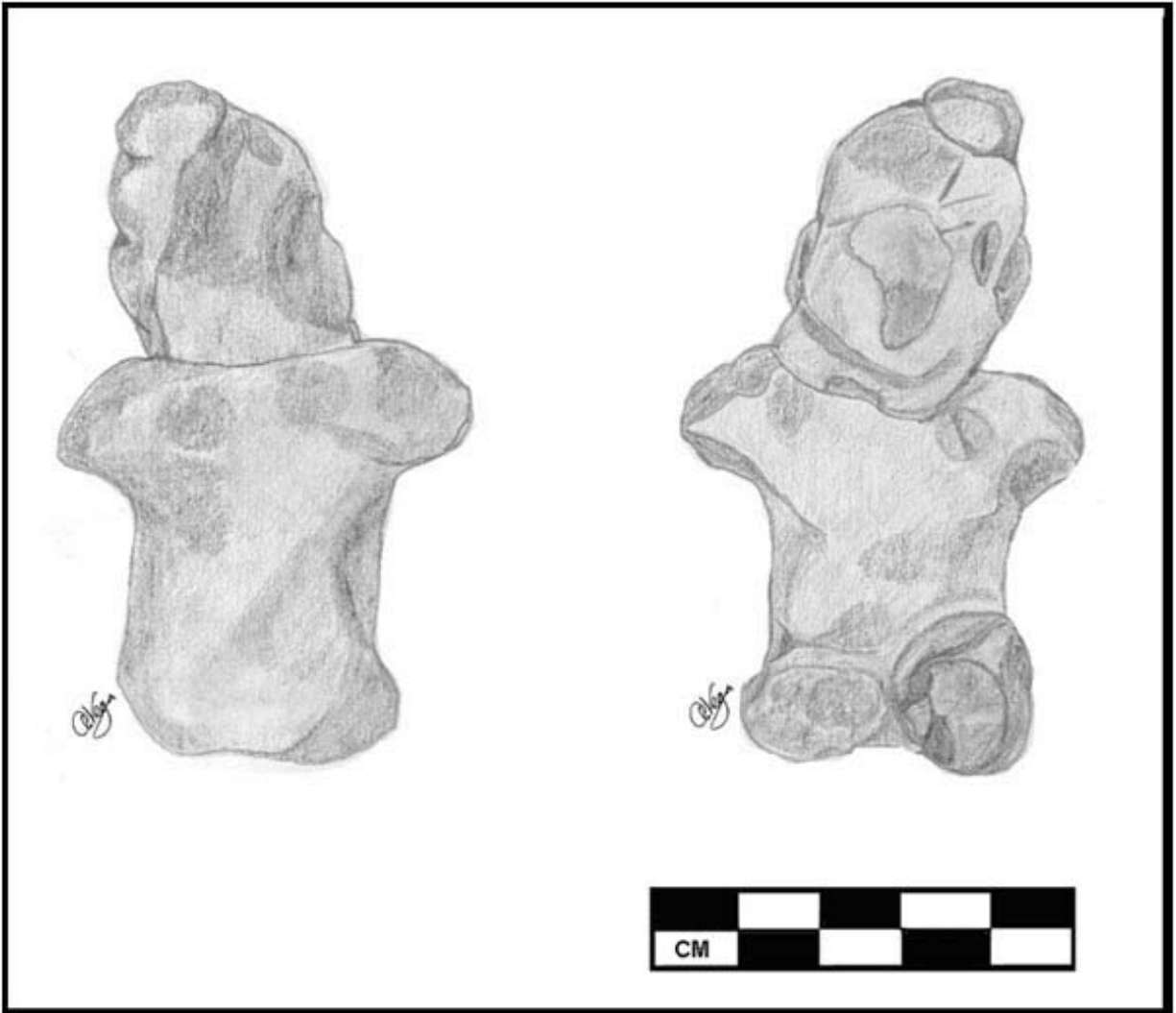


Figura 10. Fase San Lorenzo (1150-900 a.C.).

### Conclusiones Preliminares

El análisis cerámico (14,443 tiestos) ha confirmado la presencia de habitación pre-olmeca y olmeca en los pequeños sitios con montículos esparcidos por la planicie aluvial norteña de San Lorenzo. Pudimos identificar las fases Ojochi, Bajío, San Lorenzo, Nacaste, Remplás y Villa Alta de Coe y Diehl (1980: 137-159) en por lo menos tres de los montículos excavados; siguen sin identificarse las fases Chicharras y Palangana. Coe y Diehl (1980: 150) piensan que la cerámica de la fase Chicharras tiene completa continuidad con la fase San Lorenzo, aunque la cocción diferencial y la cerámica blanca empiezan en la fase Bajío. Las diferencias en tipo y forma citadas por Coe y Diehl (1980: 151) podrían no representar una nueva fase, sino deberse a que el depósito o la muestra de la fase Bajío sea demasiado pequeño. Las excavaciones de

Coe y Diehl entonces podrían no haber incluido todos los tipos cerámicos de la fase Bajío. Con base en el análisis preliminar de los tiestos de la planicie aluvial, yo creo que la fase Chicharras tiene la suficiente continuidad con la fase Bajío como para sugerir que los tipos cerámicos de la primera pueden pertenecer a la segunda. También creo que el nivel de destreza y de tecnología involucrado en la manufactura de cerámica durante las fases Ojochi y Bajío fue igual al de la fase San Lorenzo. De hecho, los habitantes de la planicie aluvial probablemente usaron la misma fuente de arena y de arcillas durante las distintas fases cerámicas de San Lorenzo. Así, la forma y la decoración son mejores indicadores de cronología que el desgrasante cuando tratamos con las cerámicas de San Lorenzo.

Las cerámicas de las fases Ojochi y Bajío, en mi opinión, tienen un gran sentido de estilo, especialmente la de la fase Bajío ([Figura 2](#), [Figura 3](#), [Figura 4](#), [Figura 5](#), [Figura 6](#)). La cerámica de estas fases representa un estilo más naturalista, o sea elementos asociados con el entorno físico que se reflejan en la decoración (acanalado) y/o en la forma (calabaza) de las cerámicas. En contraste, la fase San Lorenzo tiene cerámica que representa imágenes sobrenaturales o formas abstractas de lo sobrenatural (v. gr. Calzadas y Limón labrado/inciso de Coe y Diehl [1980: 162-175]; el Tigrillo de Symonds, Cyphers, y Lunagómez [2003]) que también son manifestaciones del mundo físico pero reflejan un sentido de ideología ([Figura 2](#)). La cocción diferencial y la controlada también están presentes en la cerámica de la planicie aluvial. Yo trataría a estas formas de cocción, al igual que Coe y Diehl (1980: 182-184), como representantes de dos tipos distintos. El análisis cerámico de las restantes unidades de prueba necesita completarse antes de abordar estas posibilidades con mayor detalle. No obstante, los análisis de las cerámicas y de otros materiales de las excavaciones de la planicie aluvial proporcionan una oportunidad para estudiar más a fondo los cambios en los materiales culturales de San Lorenzo a través del tiempo y del espacio. La mayor parte de los materiales proviene de posibles sitios habitacionales o domésticos pre-olmecas y olmecas. Por eso, los análisis de la cultura material contribuirán al entendimiento de los olmecas desde una perspectiva doméstica.

## **Agradecimientos**

Agradezco a la Dra. Ann Cyphers su apoyo y el uso del laboratorio de la UNAM en Mapachapa, Veracruz, México. Quisiera agradecer a Eladio Hernández por la ayuda inicial con el análisis cerámico y a Valentina González por su ayuda en la limpieza de los miles de tiestos. Finalmente, agradezco a FAMSI el financiamiento de la investigación en la planicie aluvial norteña.

## **Lista de Figuras**

[Figura 1.](#) Sitios arqueológicos olmecas en el sur de Veracruz y el oeste de Tabasco, México (según Grove 1997).

[Figura 2.](#) Fase San Lorenzo (1150-900 a.C.).

[Figura 3.](#) Fase Bajío (1350-1250 a.C.).

[Figura 4.](#) Fase Bajío (1350-1250 a.C.).

[Figura 5.](#) Fase Bajío (1350-1250 a.C.).

[Figura 6.](#) Fase Ojochi (1500-1350 a.C.).

[Figura 7.](#) Fase San Lorenzo (1150-900 a.C.).

[Figura 8.](#) Fase San Lorenzo (1150-900 a.C.).

[Figura 9.](#) Fase San Lorenzo (1150-900 a.C.).

[Figura 10.](#) Fase San Lorenzo (1150-900 a.C.).

## **Lista de Cuadros**

[Cuadro 1.](#) Unidad de Prueba 1. Frecuencias Cerámicas: Capas Estratigráficas y Rasgos.

[Cuadro 2.](#) Unidad de Prueba 1. Capas Estratigráficas: Frecuencias Cerámicas por Tipo.

[Cuadro 3.](#) Unidad de Prueba 1. Rasgos: Frecuencias Cerámicas por Tipo.

[Cuadro 4.](#) Unidad de Prueba 1. Capa Estratigráfica IV, Rasgo 1: Frecuencias Cerámicas por Tipo.

[Cuadro 5.](#) Unidad de Prueba 1. Capa Estratigráfica VI, Rasgo 5: Frecuencias Cerámicas por Tipo.

[Cuadro 6.](#) Unidad de Prueba 4. Frecuencias Cerámicas: Capas Estratigráficas y Rasgos.

[Cuadro 7.](#) Unidad de Prueba 4. Capas Estratigráficas y Rasgos: Frecuencias Cerámicas por Tipo.

[Cuadro 8.](#) Unidad de Prueba 4. Capa Estratigráfica II, Rasgo 1: Frecuencias Cerámicas por Tipo.

[Cuadro 9.](#) Unidad de Prueba 4. Capa Estratigráfica II, Rasgo 2: Frecuencias Cerámicas por Tipo.

[Cuadro 10.](#) Unidad de Prueba 4. Capa Estratigráfica III, Rasgo 3: Frecuencias Cerámicas por Tipo.

[Cuadro 11.](#) Unidad de Prueba 4. Capa Estratigráfica III, Rasgo 4: Frecuencias Cerámicas por Tipo.

[Cuadro 12.](#) Unidad de Prueba 4. Capa Estratigráfica III, Rasgo 5: Frecuencias Cerámicas por Tipo.

[Cuadro 13.](#) Unidad de Prueba 4. Capa Estratigráfica IV, Rasgo 7: Frecuencias Cerámicas por Tipo.

[Cuadro 14.](#) Unidad de Prueba 11. Capas Estratigráficas y Rasgos: Frecuencias Cerámicas.

[Cuadro 15.](#) Unidad de Prueba 11. Capas Estratigráficas: Frecuencias Cerámicas por Tipo.

[Cuadro 16.](#) Unidad de Prueba 11. Rasgos: Frecuencias Cerámicas por Tipo.

[Cuadro 17.](#) Unidad de Prueba 11. Capa Estratigráfica II, Rasgo 1: Frecuencias Cerámicas por Tipo.

[Cuadro 18.](#) Unidad de Prueba 11. Capa Estratigráfica II/Intrusión: Frecuencias Cerámicas por Tipo.

[Cuadro 19.](#) Unidad de Prueba 11. Capa Estratigráfica II, Rasgo 2: Frecuencias Cerámicas por Tipo.

[Cuadro 20.](#) Unidad de Prueba 11. Capa Estratigráfica II, Rasgo 3: Frecuencias Cerámicas por Tipo.

[Cuadro 21.](#) Unidad de Prueba 11. Capa Estratigráfica II, Rasgo 4: Frecuencias Cerámicas por Tipo.

[Cuadro 22.](#) Unidad de Prueba 11. Capa Estratigráfica III, Rasgo 9: Frecuencias Cerámicas por Tipo.

[Cuadro 23.](#) Unidad de Prueba 11. Capa Estratigráfica III, Rasgo 10: Frecuencias Cerámicas por Tipo.

[Cuadro 24.](#) Unidad de Prueba 11. Capa Estratigráfica III, Rasgo 11/Piso 1: Frecuencias Cerámicas por Tipo.

[Cuadro 25](#). Unidad de Prueba 11. Capa Estratigráfica IV, Rasgo 12/FI-3: Frecuencias Cerámicas por Tipo.

[Cuadro 26](#). Unidad de Prueba 11. Capa Estratigráfica IV, Rasgo 13: Frecuencias Cerámicas por Tipo.

[Cuadro 27](#). Unidad de Prueba 11. Capa Estratigráfica IV, Rasgo 14: Frecuencias Cerámicas por Tipo.

[Cuadro 28](#). Unidad de Prueba 11. Capa Estratigráfica IV, Rasgo 15: Frecuencias Cerámicas por Tipo.

[Cuadro 29](#). Unidad de Prueba 11. Capa Estratigráfica IV, Rasgo 15: Frecuencias Cerámicas por Tipo.

[Cuadro 30](#). Unidad de Prueba 11. Capa Estratigráfica IV, Rasgo 16: Frecuencias Cerámicas por Tipo.

## Referencias Citadas

Coe, Michael D.

1981 "San Lorenzo Tenochtitlán." In *Supplement to the handbook of Middle American Indians*, vol. 1: Archaeology, Jeremy A. Sabloff, ed. Austin: University of Texas Press.

Coe, Michael D. and Richard A. Diehl

1980 *In the Land of the Olmec*. Vol. 1, The Archaeology of San Lorenzo Tenochtitlán. University of Texas Press, Austin.

Lunagómez Reyes, Roberto

1995 *Patrón de Asentamiento en el Hinterland Interior de San Lorenzo Tenochtitlán Veracruz*. Tesis, Universidad de Veracruz, México.

Symonds, Stacey C.

1995 *Settlement Distribution and the Development of Cultural Complexity in the Lower Coatzacoalcos Drainage, Veracruz, México: An Archaeological Survey at San Lorenzo, Tenochtitlán*. Ph.D. dissertation, Anthropology Department, Vanderbilt University.

Symonds, Stacey C., Ann Cyphers and Roberto Lunagómez

2003 *Patrón de Asentamiento en San Lorenzo Tenochtitlán*. Universidad Nacional Autónoma de México, Instituto de Investigaciones Antropológicas, México.

Vega, Anthony A.

1998 "Informe de las Excavaciones Arqueológicas en el Planicie Aluvial Norte de San Lorenzo, 1998." Informe del Proyecto Arqueológico San Lorenzo Tenochtitlán Temporada 1988, edited by Ann Cyphers. Report to the Consejo de Arqueología, Instituto de Nacional de Antropología e Historia, México City.

1999 "[Archaeological Investigations of San Lorenzo's Northern Alluvial Floodplain](#)." Final report submitted to the Foundation for the Advancement of Mesoamerican Studies, Inc. ([en Español](#))